



بیست و هفتمین کنفرانس اپتیک و
فوتوونیک ایران و سیزدهمین کنفرانس
مهندسی و فناوری فتوونیک ایران،
دانشگاه سیستان و بلوچستان،
 Zahedan, Iran.

۱۴-۱۶ بهمن ۱۳۹۹

کد مقاله : A-۱۰-۱۹۱۷-۳



دانشگاه سیستان و بلوچستان

شبیه سازی انتشار باریکه لیزر گاوسی در پلاسمای سرد برخوردی با روش تفاضل محدود در حوزه زمان

رضا خونیکی، رضا فلاح، حسین دلشداد

گروه فیزیک دانشگاه بیرجند، بیرجند، ایران

چکیده - در این مقاله انتشار باریکه لیزر با پروفایل گاوسی در پلاسمای سرد برخوردی، شبیه سازی و مورد مطالعه قرار می گیرد. با استفاده از معادلات ماکسول و ثابت دی الکتریک پلاسمای سرد برخوردی، رابطه ای برای بردار جابجایی الکتریکی، قطبش و میدان الکتریکی باریکه در پلاسما بدست می آید. در ادامه با روش تفاضل محدود فضای زمان (FDTD) توزیع میدان های الکتریکی و مغناطیسی باریکه در حین انتشار در پلاسما به صورت دو بعدی شبیه سازی می شود. نتایج نشان می دهد که در انتشار باریکه گاوسی در پلاسما به دلیل اثر نیروی پاندرماتیو، خودهمگایی باریکه صورت گرفته و باریکه به تدریج انرژی از دست می دهد.

کلید واژه - باریکه لیزر، پلاسمای برخوردی، باریکه گاوسی، تفاضل محدود در حوزه زمان، انتشار لیزر، پلاسمای سرد

Simulation of propagation of Gaussianlaser beam in a collision cold plasma with FDTD method

Reza Khooniki, Reza Fallah, HosseinDelshad

Department of physics, University of Birjand, Birjand, Iran

Abstract- In this paper the propagation of Gaussian laserbeam in a collision cold plasma is simulated and studied. By using the Maxwell's equations and dielectric constant of a collision cold plasma, the relation for the vector of electric displacement, polarization and electric field in the plasma are calculated. Then, by using the FDTDmethod, the distribution of electric and magnetic fields of the beam are simulated in two dimensions during propagation in plasma. The results show that due to the effect of ponderomotive force on the propagation of the Gaussian beam in the plasma, the beam converges and the beam gradually loses energy.

Keywords: Laserbeam, collision plasma, finite difference time domain, laser propagation, cold plasma

مقدمه

برای پیاده‌سازی روش FDTD جهت شبیه‌سازی برهمکنش، از معادلات ماکسول و رابطه جابجایی الکتریکی استفاده می‌شود:

$$\frac{\partial H_y(z)}{\partial z} = \frac{\partial D_x(z)}{\partial t} \quad (2)$$

$$\mu_0 \frac{\partial H_y(z)}{\partial t} + \frac{\partial E_x(z)}{\partial z} = 0 \quad (3)$$

$$D_x(\omega) = \epsilon(\omega) E_x(\omega) \quad (4)$$

در این روابط E_x و H_y مولفه‌های میدان‌های الکتریکی و مغناطیسی باریکه هستند که عمود بر جهت انتشار می‌باشند. از طرفی رابطه‌ی (1) را می‌توان به صورت زیر بازنویسی کرد:

$$\epsilon_r(\omega) = 1 + \frac{\omega_{pe}^2}{v_e(j\omega) + (j\omega)^2} \quad (5)$$

با جایگذاری رابطه بالا در رابطه (4) داریم:

$$D_x(\omega) = E_x(\omega) + \frac{\omega_{pe}^2}{v_e(j\omega) + (j\omega)^2} E_x(\omega) \quad (6)$$

با توجه به رابطه جابجایی الکتریکی $D_x = \epsilon_r E_x + S_x$ می‌توان رابطه زیر را برای قطبش S در نظر گرفت

$$S(\omega) = \frac{\omega_{pe}^2}{v_e(j\omega) + (j\omega)^2} E_x(\omega) \quad (7)$$

به منظور شبیه‌سازی انتشار باریکه، باید روابط به حوزه زمانی برده شوند، لذا می‌توان رابطه (7) را به صورت زیر بازنویسی کرد:

$$S(\omega) = \frac{(\omega_{pe}\Delta t)^2}{(v_e\Delta t)(j\omega\Delta t) + (j\omega\Delta t)^2} E_x(\omega) \quad (8)$$

حال می‌توان با انجام تبدیل Z بر اساس مدل BT به صورت زیر،

$$j\omega\Delta t \Leftrightarrow 2^{\frac{1-Z^{-1}}{1+Z^{-1}}} \quad (9)$$

$$E^n \cdot Z^{-1} = E^{n-1} \quad (10)$$

$$S^n \cdot Z^{-1} = S^{n-1} \quad (11)$$

به رابطه ساختمندی پاشندگی در فضای گسسته زمان n به صورت زیر رسید:

$$E^n = \frac{1}{(1+C_1)} (D^n - C_1(2E^{n-1} + E^{n-2}) + C_2 S^{n-1} + C_3 S^{n-2}) \quad (12)$$

که ضرایب C_1, C_2 و C_3 به صورت زیر درنظر گرفته می‌شوند:

روش تفاضل محدود حوزه زمان که به روش FDTD معروف است به عنوان یک ابزار اصلی در محاسبات برای حل مسائلی که در آن امواج الکترومغناطیس با ساختار مواد در ارتباط اند، به کار گرفته می‌شود [۱]. یک روش بسیار قادرمند در حوزه الکترودینامیک محاسباتی است و به علت حوزه زمانی بودن این روش، به طور مستقیم می‌توان جواب پاسخ ضربه سیستم را به دست آورد، بعلاوه در مقایسه با بقیه روش‌های عددی ساده تر و کارآمدتر می‌باشد [۲]. در این مقاله، با استفاده از روش FDTD، انتشار باریکه لیزر با نمایه گاوسی در یک پلاسمای سرد غیرمغناطیسی برخورداری شبیه سازی شده است.

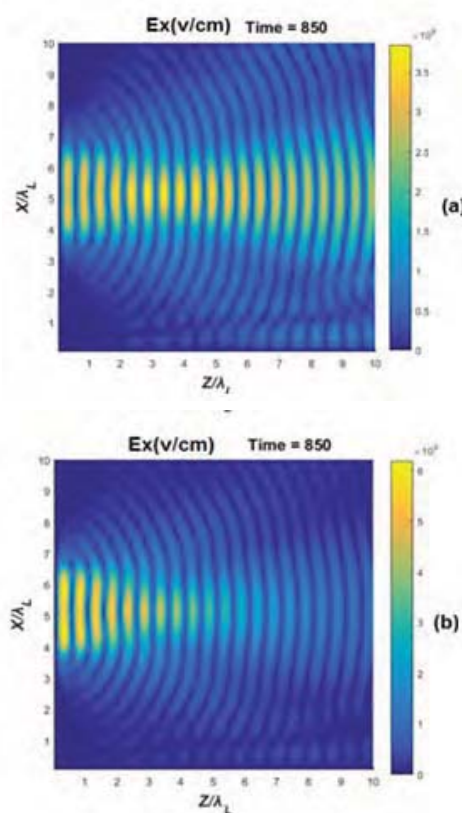
مدل فیزیکی

چگونگی انتشار باریکه لیزر در محیط پلاسما بستگی به پارامترهایی نظیر چگالی الکترونی پلاسما، فرکانس لیزر، فرکانس برخورد و حضور میدان‌های خارجی در پلاسما دارد. پلاسما یک محیط دی الکتریک است که همه پارامترهای ذکر شده، در ثابت دی الکتریک پلاسما ظاهر می‌شوند. برای لیزر یا موج الکترومغناطیسی فرکانس پایین، ثابت دی الکتریک پلاسما در حالت غیرمغناطیسی با مدل دروده بیان می‌شود [۳]. لذا برای بررسی انتشار لیزر در پلاسما، پلاسمایی که در نظر می‌گیریم باید چگالی بالا داشته باشد. برای یک پلاسمای سرد غیرمغناطیسی برخورداری، ثابت دی الکتریک محیط به صورت زیر بیان می‌شود:

$$\epsilon(\omega) = \epsilon_0 \left(1 - \frac{\omega_{pe}^2}{\omega(\omega - iv_e)}\right) \quad (1)$$

که ω فرکانس لیزر، ω_{pe} فرکانس الکترونی پلاسما و v_e فرکانس برخورد می‌باشد. در حالت واقعی پلاسما ممکن است بین دیواره‌ها محدود شده باشد و دارای پارامترهایی متغیر با زمان یا مکان باشد. فرض می‌شود یک باریکه لیزری قطبیده با فرکانس زاویه‌ای ω در جهت Z در پلاسما منتشر می‌شود. همچنان فرض می‌شود فرکانس باریکه گاوسی خیلی بیشتر از فرکانس یونی پلاسما است تا بتوان یون‌ها را ساکن در نظر گرفت.

می شود و مقدار بیشینه میدان الکتریکی باریکه $E_x = 3.5 \times 10^9 (V/cm)$ می باشد. شکل (۱) (b) مربوط به انتشار باریکه لیزر گاووسیدر پلاسمای سرد برخوردی است. مشاهده می شود باریکه گاووسی داخل پلاسما همگرا شده و این به دلیل تغییر چگالی الکترونی پلاسما توسط نیروی پاندرماتیو بوده و باریکه در حین انتشار میرا و طول نفوذی حدود $6\lambda_L$ را دارد. مقدار بیشینه میدان الکتریکی در پلاسما $E_x = 5.5 \times 10^9 (V/cm)$ می باشد که این نشان می دهد باریکه در حین انتشار در پلاسما دچار خودهمگرایی می شود. نیروی پاندرماتیو باریکه بر الکترون های پلاسما اثر کرده و باعث می شود الکترون ها از ناحیه پرشدت خارج شده و پلاسما همچون عدسی محدب رفتار کند.. همچنین از این شکل مشاهده می شود که باریکه با انتشار در پلاسمای برخوردی به دلیل تابش ترمی معکوس میرا شده و انرژی آن توسط الکترون های پلاسما جذب می شود که با نتایج گزارش شده در این زمینه در توافق می باشد [۵].



شکل ۱: چگونگی توزیع مولفه E_x میدانی (a)، مربوط به فضای آزاد. (b)، داخل پلاسما.

$$C_1 = \frac{(w_{pe}\Delta t)^2}{(2v_e\Delta t+4)} \quad (13)$$

$$C_2 = \frac{-8}{(2v_e\Delta t+4)} \quad (14)$$

$$C_3 = \frac{-2v_e\Delta t+4}{(2v_e\Delta t+4)} \quad (15)$$

برای شبیه سازی انتشار باریکه در پلاسما، توزیع میدان باریکه گاووسی به صورت زیر در نظر گرفته می شود.

$$E(r,z) = E_0 \frac{w_0}{w(z)} \exp\left(-\frac{r^2}{w(z)^2}\right) \exp\left(-i\left(kz + \frac{kr^2}{2q(z)} - \varphi(z)\right)\right) \quad (16)$$

که r ، فاصلهشعاعی از محور مرکز پرتو، E_0 اندازه دامنه و $w(z)$ کمر باریکه در محل z است که در رابطه کمر باریکه به صورت زیر بیان می شود:

$$w(z) = w_0 \sqrt{\left(1 + \left(\frac{z}{z_R}\right)^2\right)} \quad (17)$$

که در رابطه بالا w_0 کمینه مقدار کمر باریکه، $k = \frac{2\pi}{\lambda}$ پارامتر مختلط پرتو، $q(z) = z + iz_R$ فاز طولی می باشد. در عدد موج $\varphi(z) = \tan^{-1}\left(\frac{z}{z_R}\right)$ شبیه سازی دو بعدی FDTD بر پایه مدل تبدیل دوسویه، باریکه لیزری گاووسی توسط منبع TF/SF (Total Field/Scattering Field) با پارامترهای $\lambda = 351nm$ ، $E_0 = 2\lambda$ و $w_0 = 2\lambda$ در پلاسما منتشر می شود. در این شبیه سازی مد الکترومغناطیسی TE را در نظر می گیریم و پارامترها و خصوصیات پلاسمای به کار گرفته شده در شبیه سازی حالت یک بعدی را در نظر می گیریم. مساحت کل فضای شبیه سازی را شامل 200×200 سولول در نظر می گیریم.

با استفاده از روش تکرار مولفه های میدان الکتریکی و مغناطیسی با کمک رابطه بالا و معادلات ماکسول بدست می آیند. شکل (۱) چگونگی توزیع میدان الکتریکی باریکه گاووسی E_x در صفحه $x-z$ را برای دو محیط فضای آزاد و پلاسما نشان می دهد. شکل (۱) (a) مربوط به حالتی است که انتشار دو بعدی باریکه لیزری گاووسی در فضای آزاد را تا ۵۰ زمانی 850 نشان می دهد، همانطور که انتظار داشتیم باریکه بدون هیچ تغییری در توزیع میدان با یک واگرایی اندک منتشر

در شکل (۲) توزیع مولفه‌ی z میدان مغناطیسی H_z تا گام زمانی 850 شبیه‌سازی شده است. شکل (۲)(a) برای انتشار باریکه در فضای آزاد و شکل (۲)(b) انتشار باریکه در پلاسمای نشان می‌دهد. از بررسی این شکل مشاهده می‌شود که مولفه‌ی H_z طولی میدان مغناطیسی همانند میدان الکتریکی در حین انتشار دچار همگرایی شده و مقدار بیشینه این مولفه‌ی میدان در پلاسمای حدود $H_z = 60MG$ می‌باشد. همچنین می‌شود باریکه در طولی به اندازه 6λ در پلاسما نفوذ می‌کند. شکل (۳)

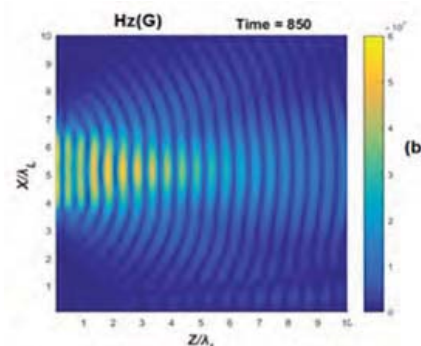
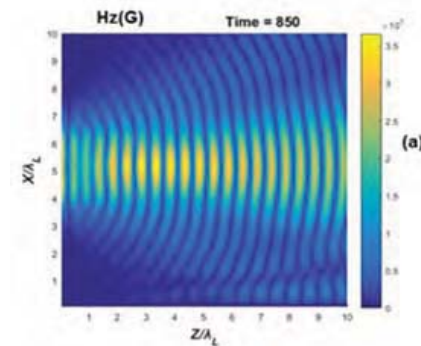
(۳) چگونگی تغییرات مولفه‌ی y میدان مغناطیسی H_y را تا گام زمانی 850 نشان می‌دهد. همانند حالت قبل، شبیه‌سازی تغییرات این مولفه میدان در فضای آزاد و پلاسما انجام شده است. در این شکل واگرایی مولفه‌ی عرضی میدان مغناطیسی در پلاسما و فضای آزاد به خوبی مشاهده می‌شود.

نتیجه‌گیری

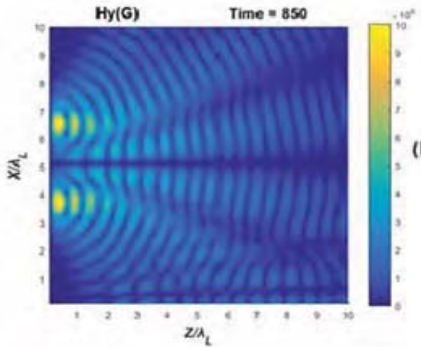
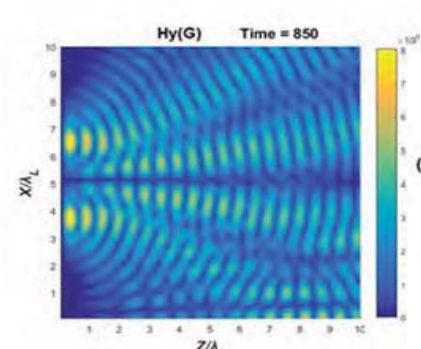
در این مقاله، با استفاده از روش تفاضل محدود در حوزه زمان و مدل تبدیل دو سویه، انتشار دو بعدی باریکه لیزری گاووسی در فضای آزاد و یک پلاسمای سرد برخوردي بررسی و توزیع میدان‌های الکتریکی و مغناطیسی در این دو محیط شبیه‌سازی شد. از آنجا که نیروی پاندرماتیو سبب می‌شود الکترون‌ها از ناحیه‌ی با شدت بالا دور شوند و در نتیجه‌ی آن میدان‌های الکترومغناطیسی و توزیع چگالی الکترونی در پلاسما تغییر می‌کنند. شبیه‌سازی توزیع میدان الکتریکی در پلاسما به روشنی نشان می‌دهد که پرتوهای گاووسی در حین انتشار در پلاسما همگرا شده و به تدریج در پلاسما میرا می‌شوند.

مرجع‌ها

- [1] A. Taflove, and S. C. Hagness, [Computational Electrodynamics: The Finite-Difference Time-Domain Method], 2nd ed. Artech House, Norwood (2000).
- [2] W. H. Weeden and C. M. Rappaport, *IEEE Trans. Antenna Propag.*, 45 (3) (1997) pp. 401–410.
- [3] M. Wang, M.Yu, Z. Xu, G. Li, B. Jiang, J. Xu,. *IEEE Trans. Plasma Sci.* 43 (2015) 4182–4186.
- [4] D. E. Merewether, R. Fisher, and F. W. Smith, *IEEE Trans. Nucl. Sci.*, vol. 27, No. 6, pp. 1829–1833, 1980.
- [5] Z. Lin, X. Chen, P. Ding, W. Qiu, and J. Pu, *Opt. Express*, vol. 25, No. 7, pp. 8440–8449, 2017.



شکل ۲: چگونگی توزیع مولفه‌ی میدانی H_z . (a)، مربوط به فضای آزاد. (b)، داخل پلاسما.



شکل ۳: چگونگی توزیع مولفه‌ی میدانی H_y . (a)، مربوط به فضای آزاد. (b)، داخل پلاسما.